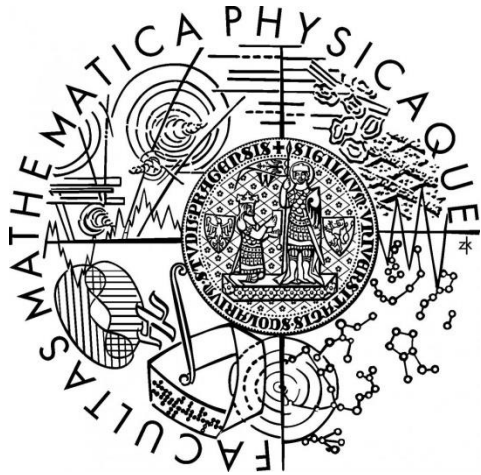


I. MECHANIKA

5. Otáčení tuhého tělesa II



Obsah

- rotace kolem pevného bodu
- pohybová rovnice pro rotaci kolem pevného bodu
- pojem tenzoru
- základní operace s tenzory
- tenzor momentu setrvačnosti
- Eulerovy rovnice
- význam deviačních momentů
- kinetická energie rotujícího tělesa
- stanovení momentu setrvačnosti vůči ose
- elipsoid setrvačnosti
- hlavní osy a hlavní momenty setrvačnosti
- setrvačníky
- volná osa rotace, stabilita

Otáčení kolem pevného bodu

- těleso rotuje kolem bodu, který se nachází na pevné pozici v i.s.s.
- snažíme se nalézt i pro tento případ pohybovou rovnici tvaru

konstantní vlastnost objektu × charakteristika pohybu = vnější silové působení

- prvním krokem nalezení rovnice analogické k $B^{\parallel} = J\omega$
- dalším krokem hledání analogie k $\frac{d}{dt}(J\omega) = M^{E\parallel}$

Pohybová rovnice pro otáčení kolem bodu

- $\vec{v}_i = \vec{\omega} \times \vec{r}_i \quad \rightarrow \quad \begin{aligned} v_{i1} &= \omega_2 x_{i3} - \omega_3 x_{i2} \\ v_{i2} &= \omega_3 x_{i1} - \omega_1 x_{i3} \\ v_{i3} &= \omega_1 x_{i2} - \omega_2 x_{i1} \end{aligned}$
- $\vec{B} = \sum_{i=1}^N \vec{r}_i \times m_i \vec{v}_i \quad \rightarrow \quad \begin{aligned} B_1 &= \sum_{i=1}^N m_i (x_{i2} v_{i3} - x_{i3} v_{i2}) \\ B_2 &= \sum_{i=1}^N m_i (x_{i3} v_{i1} - x_{i1} v_{i3}) \\ B_3 &= \sum_{i=1}^N m_i (x_{i1} v_{i2} - x_{i2} v_{i1}) \end{aligned}$
- $\vec{B} = \sum_{i=1}^N m_i \vec{r}_i \times (\vec{\omega} \times \vec{r}_i) \quad \rightarrow \quad \begin{aligned} B_1 &= \sum_{i=1}^N m_i [x_{i2} (\omega_1 x_{i2} - \omega_2 x_{i1}) - x_{i3} (\omega_3 x_{i1} - \omega_1 x_{i3})] \\ B_2 &= \sum_{i=1}^N m_i [x_{i3} (\omega_2 x_{i3} - \omega_3 x_{i2}) - x_{i1} (\omega_1 x_{i2} - \omega_2 x_{i1})] \\ B_3 &= \sum_{i=1}^N m_i [x_{i1} (\omega_3 x_{i1} - \omega_1 x_{i3}) - x_{i2} (\omega_2 x_{i3} - \omega_3 x_{i2})] \end{aligned}$

Tenzor momentu setrvačnosti

$$B_1 = \omega_1 \sum_{i=1}^N m_i (x_{i2}^2 + x_{i3}^2) - \omega_2 \sum_{i=1}^N m_i x_{i1} x_{i2} - \omega_3 \sum_{i=1}^N m_i x_{i1} x_{i3}$$

$$B_2 = -\omega_1 \sum_{i=1}^N m_i x_{i1} x_{i2} + \omega_2 \sum_{i=1}^N m_i (x_{i1}^2 + x_{i3}^2) - \omega_3 \sum_{i=1}^N m_i x_{i2} x_{i3}$$

$$B_3 = -\omega_1 \sum_{i=1}^N m_i x_{i1} x_{i3} - \omega_2 \sum_{i=1}^N m_i x_{i2} x_{i3} + \omega_3 \sum_{i=1}^N m_i (x_{i1}^2 + x_{i2}^2)$$

$$B_1 = I_{11}\omega_1 + I_{12}\omega_2 + I_{13}\omega_3$$

$$B_2 = I_{21}\omega_1 + I_{22}\omega_2 + I_{23}\omega_3$$

$$B_3 = I_{31}\omega_1 + I_{32}\omega_2 + I_{33}\omega_3$$

$$I_{11} = \sum_{i=1}^N m_i (x_{i2}^2 + x_{i3}^2)$$

$$I_{22} = \sum_{i=1}^N m_i (x_{i1}^2 + x_{i3}^2)$$

$$I_{33} = \sum_{i=1}^N m_i (x_{i1}^2 + x_{i2}^2)$$

$$I_{12} = I_{21} = -\sum_{i=1}^N m_i x_{i1} x_{i2}$$

$$I_{13} = I_{31} = -\sum_{i=1}^N m_i x_{i1} x_{i3}$$

$$I_{23} = I_{32} = -\sum_{i=1}^N m_i x_{i2} x_{i3}$$

$$B_k = I_{kl}\omega_l \quad \longrightarrow \quad \vec{B} = \vec{I}\vec{\omega}$$

Tenzory

přechod mezi kartézskými soustavami souřadnic

matice rotace

transformace vektorů

transformace součinu složek vektorů

označme nový objekt

objekt se transformuje při rotaci

takto se transformuje tenzor 2. řádu – obecně obsahuje 9 složek T_{ij}

$$x_1, x_2, x_3 \rightarrow x'_1, x'_2, x'_3$$

$$a_{ij} = \cos \alpha_{ij}$$

$$A'_i = a_{ik} A_k, \quad B'_j = a_{jl} B_l$$

$$A'_i B'_j = a_{ik} a_{jl} A_k B_l$$

$$T'_{ij} = A'_i B'_j, \quad T_{kl} = A_k B_l$$

$$T'_{ij} = a_{ik} a_{jl} T_{kl}$$

vytvořený objekt $T_{kl} = A_k B_l$ je tenzor 2. řádu – má ale speciální vlastnosti, protože k jeho určení stačí pouze 6 nezávislých veličin (složky vektorů A_k a B_l)

indexy u veličin T_{ij} se vztahují k osám téže soustavy souřadnic

↖ tenzor

indexy u veličin a_{ij} se vztahují k osám souřadnic původní a rotované soustavy

↖ není tenzor

Tenzor n -tého řádu

pro veličiny $T_{i\dots l}$, které jsou složkami tenzoru n -tého řádu, platí

- jsou definovány v určitém bodu trojrozměrného prostoru
- jedná se o celkem 3^n složek
- mají n indexů i, \dots, l
- při ortogonální transformaci souřadnic platí
- pro inverzní transformaci platí

$$T'_{\underbrace{i\dots l}_n} = \underbrace{a_{ir} \dots a_{lt}}_n T_{\underbrace{r\dots t}_n}$$

$$T_{\underbrace{r\dots t}_n} = \underbrace{a_{ir} \dots a_{lt}}_n T'_{\underbrace{i\dots l}_n}$$

řád tenzorů

- | | | | |
|-----------------|-----------|----------------|-----------------|
| • nultého řádu | 1 složka | skalár | A |
| • prvního řádu | 3 složky | vektor | \vec{A} |
| • druhého řádu | 9 složek | tenzor 2. řádu | $\vec{\vec{A}}$ |
| • třetího řádu | 27 složek | tenzor 3. řádu | |
| • čtvrtého řádu | 81 složek | tenzor 4. řádu | |

tenzor symetrický v indexech i a k

$$T_{\dots ikl\dots} = T_{\dots kil\dots}$$

tenzor antisymetrický v indexech i a k

$$T_{\dots ikl\dots} = -T_{\dots kil\dots}$$

symetrie a antisymetrie se při transformaci zachovává

Operace tenzorového počtu

slučování

$$A'_{ijk} = a_{ir} a_{js} a_{kt} A_{rst}, \quad B'_{ijk} = a_{ir} a_{js} a_{kt} B_{rst}$$

- $A'_{ijk} \pm B'_{ijk} = a_{ir} a_{js} a_{kt} A_{rst} \pm a_{ir} a_{js} a_{kt} B_{rst} = a_{ir} a_{js} a_{kt} (A_{rst} \pm B_{rst})$
- jen tenzory stejného řádu, vznikne opět tenzor stejného řádu
- $C_{ijk} = A_{ijk} \pm B_{ijk}$

násobení

$$A'_{ij} = a_{in} a_{jp} A_{np}, \quad B'_{klm} = a_{kr} a_{ls} a_{mt} B_{rst}$$

- $A'_{ij} B'_{klm} = a_{in} a_{jp} a_{kr} a_{ls} a_{mt} A_{np} B_{rst}$
- vznikne tenzor, jehož řád je součtem řádů výchozích tenzorů
- $C_{ijklm} = A_{ij} B_{klm}$

úžení

$$T'_{ijkl} = a_{im} a_{jn} a_{kr} a_{ls} T_{mnr s}$$

- položíme $k = j$ a sečteme přes index j
- $T'_{ijjl} = a_{im} \underbrace{a_{jn} a_{jr}}_{\delta_{nr}} a_{ls} T_{mnr s} = a_{im} a_{ls} T_{mnns}$

- úžením tenzoru n -tého řádu vznikne tenzor řádu $n-2$

Tenzor momentu setrvačnosti

2. imp. věta $\frac{d\vec{B}}{dt} = \vec{M}^E \rightarrow \frac{d}{dt}(\vec{I}\vec{\omega}) = \vec{M}^E \rightarrow \frac{d}{dt}(I_{kl}\omega_l) = M_k^E$

V případě rotace kolem bodu není vektor momentu hybnosti rovnoběžný s vektorem úhlové rychlosti, proto nelze najít skalární koeficient úměrnosti mezi nimi.

Narážíme na zásadní potíž:

V případě rotace kolem pevné osy byl moment setrvačnosti J vyjádřen jen pomocí vzdáleností hmotných bodů od osy rotace, které nezávisely na volbě soustavy souřadnic, zatímco v případě rotace kolem bodu jsou složky \vec{I} vyjádřeny pomocí souřadnic v inerciální s.s., vzhledem k níž se těleso otáčí a osa rotace mění, a tedy složky \vec{I} se průběžně mění také.

Závěr:

Rovnice $\frac{d}{dt}(\vec{I}\vec{\omega}) = \vec{M}^E$ není prakticky využitelnou analogií rovnice $\frac{d}{dt}(J\omega) = M^{E\parallel}$.

Vyjádření v soustavě rotující s tělesem

- $\vec{B} = \vec{I}\vec{\omega}$ platí v libovolné vztažené soustavě (jde stále o vektory určené vůči nehybné s.s.!)

\vec{B} :	$B_k \rightarrow \beta_k$
\vec{r} :	$x_k \rightarrow \xi_k$
$\vec{\omega}$:	$\omega_k \rightarrow \Omega_k$

- provedeme transformaci do rotující soustavy spjaté s tělesem

$$\beta_1 = \Omega_1 \sum_{i=1}^N m_i (\xi_{i2}^2 + \xi_{i3}^2) - \Omega_2 \sum_{i=1}^N m_i \xi_{i1} \xi_{i2} - \Omega_3 \sum_{i=1}^N m_i \xi_{i1} \xi_{i3}$$

$$\beta_2 = -\Omega_1 \sum_{i=1}^N m_i \xi_{i1} \xi_{i2} + \Omega_2 \sum_{i=1}^N m_i (\xi_{i1}^2 + \xi_{i3}^2) - \Omega_3 \sum_{i=1}^N m_i \xi_{i2} \xi_{i3}$$

$$\beta_3 = -\Omega_1 \sum_{i=1}^N m_i \xi_{i1} \xi_{i3} - \Omega_2 \sum_{i=1}^N m_i \xi_{i2} \xi_{i3} + \Omega_3 \sum_{i=1}^N m_i (\xi_{i1}^2 + \xi_{i2}^2)$$

$$J_{11} = \sum_{i=1}^N m_i (\xi_{i2}^2 + \xi_{i3}^2)$$

$$J_{12} = J_{21} = -\sum_{i=1}^N m_i \xi_{i1} \xi_{i2}$$

$$J_{22} = \sum_{i=1}^N m_i (\xi_{i1}^2 + \xi_{i3}^2)$$

$$J_{13} = J_{31} = -\sum_{i=1}^N m_i \xi_{i1} \xi_{i3}$$

$$J_{33} = \sum_{i=1}^N m_i (\xi_{i1}^2 + \xi_{i2}^2)$$

$$J_{23} = J_{32} = -\sum_{i=1}^N m_i \xi_{i2} \xi_{i3}$$

$$\beta_k = J_{kl} \Omega_l$$

Vyjádření v soustavě rotující s tělesem

- dostaneme analogicky k $B_k = I_{kl}\omega_l$ rovnici $\beta_k = J_{kl}\Omega_l$ platnou v soustavě spjaté s rotujícím tělesem
- protože souřadnice ξ_k jsou v této soustavě stálé, jsou i koeficienty J_{kl} stálé hodnoty
- J_{kk} představují momenty setrvačnosti v situaci, kdy těleso rotuje kolem souřadnicové osy ξ_k (**momenty setrvačnosti vůči souřadnicovým osám**)
- J_{kl} se nazývají **deviační momenty setrvačnosti**

Převedení 2. IV do rotující soustavy

- další krok – převedení časové derivace do rotující soustavy
- při odvozování Coriolisovy síly jsme našli vztah mezi časovou derivací vektoru v inerciální soustavě a jeho časovou derivací v rotující soustavě

$$\frac{d\vec{A}}{dt} = \frac{d'\vec{A}}{dt} + \vec{\omega} \times \vec{A}$$

- 2. impulsová věta v soustavě rotující s tělesem

$$\frac{d'\vec{B}}{dt} + \vec{\omega} \times \vec{B} = \vec{M}^E$$

Odvození Eulerových pohybových rovnic

- vyjádření vektorů v soustavě rotující s tělesem:

\vec{B} :	$B_k \rightarrow \beta_k$
$\vec{\omega}$:	$\omega_k \rightarrow \Omega_k$
\vec{M}^E :	$M_k^E \rightarrow \mu_k^E$
- dosazení do 2. impulsové věty pro rotující soustavu

$$\frac{d'\vec{B}}{dt} + \vec{\omega} \times \vec{B} = \vec{M}^E \quad \rightarrow \quad \begin{aligned} \frac{d\beta_1}{dt} + \Omega_2\beta_3 - \Omega_3\beta_2 &= \mu_1^E \\ \frac{d\beta_2}{dt} + \Omega_3\beta_1 - \Omega_1\beta_3 &= \mu_2^E \\ \frac{d\beta_3}{dt} + \Omega_1\beta_2 - \Omega_2\beta_1 &= \mu_3^E \end{aligned} \quad \rightarrow \quad \leftarrow \quad \beta_k = J_{kl}\Omega_l$$

↓

$$\frac{d}{dt}(J_{11}\Omega_1 + J_{12}\Omega_2 + J_{13}\Omega_3) + \Omega_2(J_{31}\Omega_1 + J_{32}\Omega_2 + J_{33}\Omega_3) - \Omega_3(J_{21}\Omega_1 + J_{22}\Omega_2 + J_{23}\Omega_3) = \mu_1^E$$

$$\frac{d}{dt}(J_{21}\Omega_1 + J_{22}\Omega_2 + J_{23}\Omega_3) + \Omega_3(J_{11}\Omega_1 + J_{12}\Omega_2 + J_{13}\Omega_3) - \Omega_1(J_{31}\Omega_1 + J_{32}\Omega_2 + J_{33}\Omega_3) = \mu_2^E$$

$$\frac{d}{dt}(J_{31}\Omega_1 + J_{32}\Omega_2 + J_{33}\Omega_3) + \Omega_1(J_{21}\Omega_1 + J_{22}\Omega_2 + J_{23}\Omega_3) - \Omega_2(J_{11}\Omega_1 + J_{12}\Omega_2 + J_{13}\Omega_3) = \mu_3^E$$

Eulerovy pohybové rovnice

- soustava 3 diferenciálních rovnic pro 3 neznámé funkce $\Omega_k(t)$
- konstantní parametry J_{kl} tělesa je možno určit předem
- složky momentu síly μ_k^E jsou zadány

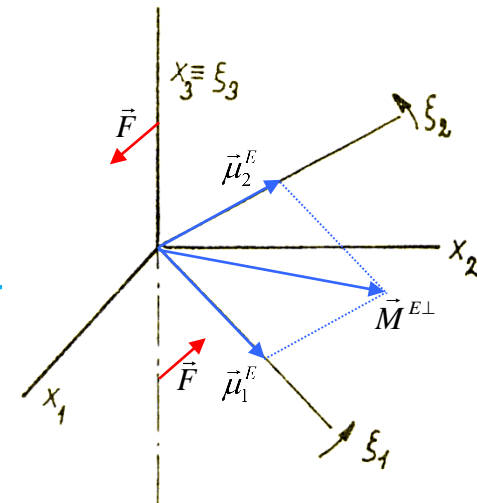
$$\begin{aligned} J_{11} \frac{d\Omega_1}{dt} + J_{12} \frac{d\Omega_2}{dt} + J_{13} \frac{d\Omega_3}{dt} + \Omega_2 (J_{31}\Omega_1 + J_{32}\Omega_2 + J_{33}\Omega_3) - \Omega_3 (J_{21}\Omega_1 + J_{22}\Omega_2 + J_{23}\Omega_3) &= \mu_1^E \\ J_{21} \frac{d\Omega_1}{dt} + J_{22} \frac{d\Omega_2}{dt} + J_{23} \frac{d\Omega_3}{dt} + \Omega_3 (J_{11}\Omega_1 + J_{12}\Omega_2 + J_{13}\Omega_3) - \Omega_1 (J_{31}\Omega_1 + J_{32}\Omega_2 + J_{33}\Omega_3) &= \mu_2^E \\ J_{31} \frac{d\Omega_1}{dt} + J_{32} \frac{d\Omega_2}{dt} + J_{33} \frac{d\Omega_3}{dt} + \Omega_1 (J_{21}\Omega_1 + J_{22}\Omega_2 + J_{23}\Omega_3) - \Omega_2 (J_{11}\Omega_1 + J_{12}\Omega_2 + J_{13}\Omega_3) &= \mu_3^E \end{aligned}$$

- toto je nejobecnější tvar Eulerových rovnic
- vhodná volba souřadnicové soustavy v tělese umožní podstatné zjednodušení

Význam deviačních momentů

předp., že těleso připevněno na pevné ose $x_3 \equiv \xi_3$, tj. doplněno takové působení sil, aby osy byly trvale ztotožněny (lze porovnat různé popisy)

moment hybnosti \vec{B} rotuje spolu s tělesem (protože není rovnoběžný s osou rotace, pořád se mění a podle 2.IV trvale působí moment sil)



Eulerovy rovnice:

$$J_{33} \frac{d\Omega_3}{dt} = \mu_3^E \quad \Leftrightarrow \quad \frac{d}{dt} B^{\parallel} = J \frac{d\omega}{dt} = M^{E\parallel}$$

$$J_{13} \frac{d\Omega_3}{dt} - J_{23} \Omega_3^2 = \mu_1^E \quad \rightarrow \quad \text{ve směru osy } \xi_1 \text{ působí složka } \mu_1^E \text{ vnějšího momentu}$$

$$J_{23} \frac{d\Omega_3}{dt} + J_{13} \Omega_3^2 = \mu_2^E \quad \rightarrow \quad \text{ve směru osy } \xi_2 \text{ působí složka } \mu_2^E \text{ vnějšího momentu}$$

Pozn.: různá znaménka v E. rovnicích – v levotočivé soustavě by byla obráceně

(vnější moment $\vec{M}^{E\perp}$ se složkami $\mu_1^E, \mu_2^E, 0$ brání vychýlení osy rotace)

- pro $\frac{d\Omega_3}{dt} = 0$ jsou složky β_1 a β_2 , jakož i μ_1^E a μ_2^E konstantní (v rotující soustavě)
- transformace do laboratorní i.s.s. \rightarrow průměty vektorů \vec{B}^{\perp} a $\vec{M}^{E\perp}$ rotují kolem osy rotace

Význam deviačních momentů

příklad – vyvažování pneumatiky

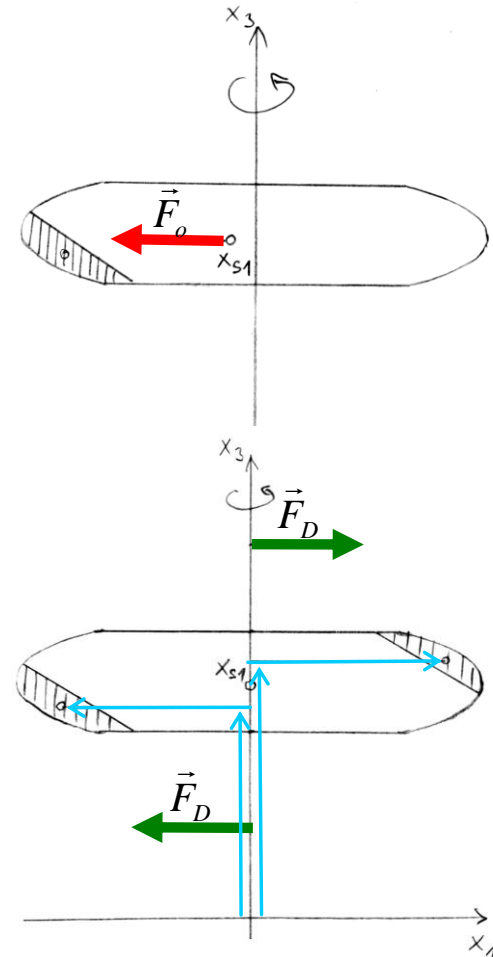
statická nevyváženost

hmotný střed mimo osu otáčení \Rightarrow odstředivá síla \vec{F}_o

dynamická nevyváženost

nenulový deviační moment

$J_{13} = -\sum_{i=1}^N m_i x_{i1} x_{i3} \neq 0 \Rightarrow$ moment sil se snaží vychýlit osu



Kinetická energie rotujícího tělesa

rotace kolem hmotného středu

- vnitřní kinetická energie rotující soustavy h.b. $E_{kl} = \sum_{n=1}^N \frac{1}{2} m_n \vec{v}_{cn} \cdot (\vec{\omega} \times \vec{r}_{cn})$

- platí (objem rovnoběžnostěnu) $\vec{a} \cdot (\vec{b} \times \vec{c}) = \vec{c} \cdot (\vec{a} \times \vec{b}) = \vec{b} \cdot (\vec{c} \times \vec{a})$

- kinetickou energii lze vyjádřit pomocí tenzoru setrvačnosti

$$\begin{aligned} E_{kl} &= \sum_{n=1}^N \frac{1}{2} m_n \vec{\omega} \cdot (\vec{r}_{cn} \times \vec{v}_{cn}) = \\ &= \frac{1}{2} \vec{\omega} \cdot \underbrace{\sum_{n=1}^N \vec{r}_{cn} \times m_n \vec{v}_{cn}}_{\vec{B}} = \frac{1}{2} \vec{\omega} \cdot \vec{B} = \\ &= \frac{1}{2} \vec{\omega} \cdot \vec{J} \cdot \vec{\omega} \end{aligned}$$

- po složkách (kvadratická forma v ω_i) $E_{kl} = \frac{1}{2} \omega_i J_{ij} \omega_j$

Stanovení momentu setrvačnosti vůči ose

rotace kolem pevné osy (v libovolném směru) procházející hmotným středem

zavedeme jednotkový vektor ve směru rotace $\vec{n} = \frac{\vec{\omega}}{|\vec{\omega}|}$

pak lze kinetickou energii zapsat

$$E_{kl} = \frac{1}{2} \vec{\omega} \cdot \vec{J} \cdot \vec{\omega} = \frac{1}{2} |\vec{\omega}| |\vec{n} \cdot \vec{J} \cdot \vec{n}| |\vec{\omega}| = \\ = \frac{1}{2} \vec{n} \cdot \vec{J} \cdot \vec{n} \omega^2$$

zároveň jsme dříve odvodili

$$E_{kl} = \frac{1}{2} J \omega^2$$

kde skalární veličina J představuje moment setrvačnosti tělesa vůči ose rotace

porovnáním vidíme, že

moment setrvačnosti J vůči libovolné zadané ose je možno zapsat ve tvaru

$$J = \vec{n} \cdot \vec{J} \cdot \vec{n}$$

pomocí Steinerovy věty je pak možno vyjádřit moment setrvačnosti vůči libovolné ose posunuté mimo hmotný střed tělesa

Závěr: moment setrvačnosti tělesa vůči libovolné ose umíme stanovit na základě znalosti 6 nezávislých složek tenzoru momentu setrvačnosti

Elipsoid setrvačnosti

- složky jednotkového vektoru ve směru rotace (směrové kosiny) n_1, n_2, n_3
- moment setrvačnosti vůči ose rotace (s využitím symetrie tenzoru)

$$J = \vec{n} \cdot \vec{J} \cdot \vec{n} \quad \rightarrow \quad J = n_1^2 J_{11} + n_2^2 J_{22} + n_3^2 J_{33} + 2n_1 n_2 J_{12} + 2n_1 n_3 J_{13} + 2n_2 n_3 J_{23}$$

- zavedeme vektor $\vec{\rho} = \frac{\vec{n}}{\sqrt{J}}$
- názorná představa: na paprsky ve směrech osy rotace vynášíme vzdálenosti $1/\sqrt{J} \rightarrow$ koncové body $\vec{\rho}$ vytvoří plochu, pro kterou platí

$$1 = \rho_1^2 J_{11} + \rho_2^2 J_{22} + \rho_3^2 J_{33} + 2\rho_1 \rho_2 J_{12} + 2\rho_1 \rho_3 J_{13} + 2\rho_2 \rho_3 J_{23}$$

- tato rovnice je známa jako rovnice kvadriky
- při splnění určitých podmínek na koeficienty J_{ij} (splňuje je každý symetrický tenzor 2. řádu) je řešením elipsoid - zde je to tzv. **elipsoid setrvačnosti**

Diagonalizace tenzoru setrvačnosti

Povšimněme si:

- elipsoid setrvačnosti v obecné s.s. orientován obecně
- e.s. má jisté symetrie – a to dokonce i v případě naprosto nesymetrických těles

Z teorie kvadrik plyne

- osy elipsoidu setrvačnosti určují 3 kolmé význačné směry (v případě rotační symetrie nemusí být všechny určeny jednoznačně)
- v kartézské soustavě souřadnic spojené s těmito 3 směry platí

- deviační momenty nulové

$$J_{12} = J_{23} = J_{13} = 0$$

- matice má diagonální tvar:

$$\begin{pmatrix} J_{11} & 0 & 0 \\ 0 & J_{22} & 0 \\ 0 & 0 & J_{33} \end{pmatrix}$$

- proto lze zavést značení

$$J_1 \equiv J_{11}, \quad J_2 \equiv J_{22}, \quad J_3 \equiv J_{33}$$

- pro osy rotace ve směru souřadnicových os platí

$$\vec{B} = J_i \vec{\omega}$$

Hlavní osy a hlavní momenty setrvačnosti

Důsledky diagonalizace

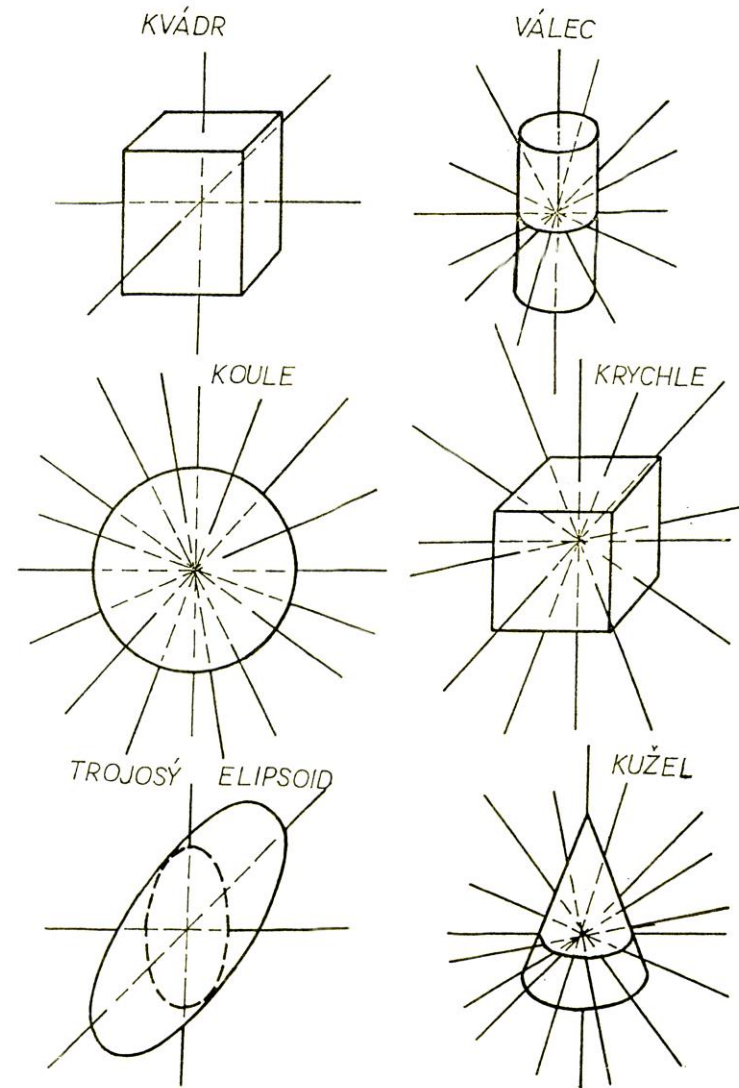
- osy, vůči nimž deviační momenty tenzoru setrvačnosti vymizí, se nazývají **hlavní osy** tenzoru setrvačnosti; při rotaci tělesa kolem těchto os nedochází k „házení“
- momenty setrvačnosti $J_1 \equiv J_{11}$, $J_2 \equiv J_{22}$, $J_3 \equiv J_{33}$ se nazývají **hlavní momenty setrvačnosti**
- rovnice elipsoidu setrvačnosti v kanonickém tvaru $1 = \rho_1^2 J_1 + \rho_2^2 J_2 + \rho_3^2 J_3$
- stanovení momentu setrvačnosti vůči lib. ose $J = n_1^2 J_1 + n_2^2 J_2 + n_3^2 J_3$

Praktický závěr: Moment setrvačnosti tělesa vůči libovolné ose lze stanovit na základě znalosti 3 jeho hlavních momentů setrvačnosti .

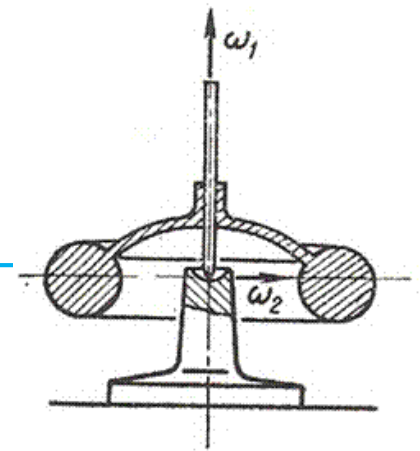
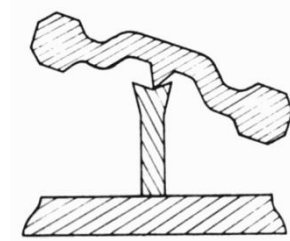
Hlavní osy a hlavní momenty setrvačnosti

hlavní osy běžných homogenních těles

- často netřeba počítat, vyplynou ze symetrie
 - rotační osa – hlavní osa
 - osy kolmé k rotační ose – všechny jsou hlavní osy
 - v případě vyšší symetrie (koule) – všechny osy procházející hmotným středem jsou hlavní
 - v případě krychle platí totéž – moment setrvačnosti pro libovolný směr má stejnou hodnotu
- $$J = (n_1^2 + n_2^2 + n_3^2)J_1$$
- \Rightarrow koule i krychle jsou tzv. kulové setrvačníky



Setrvačníky



asymetrický

$$J_1 \neq J_2, \quad J_2 \neq J_3, \quad J_1 \neq J_3$$

symetrický

$$J_1 = J_2 \neq J_3,$$

kulový

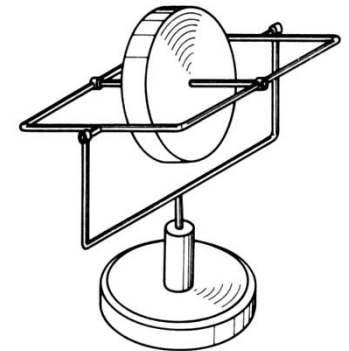
$$J_1 = J_2 = J_3 = J$$

setrvačnick hovorově

$$J_1 = J_2 \ll J_3$$

setrvačnick volný (bezsilový)

nulové vnější silové působení
upevnění v hmotném středu



Kardanův závěs

- upevnění se 3 stupni volnosti
- osy musí být navzájem aspoň přibližně kolmé
- animace ukazuje i situace se sníženým počtem stupňů volnosti (všechny obruče v rovině → rotace vnější obruče v této rovině se přenáší až na osu setrvačnicku)



„Gyroscope operation“. Licencováno pod Public domain via Wikimedia Commons - http://commons.wikimedia.org/wiki/File:Gyroscope_operation.gif#mediaviewer/File:Gyroscope_operation.gif

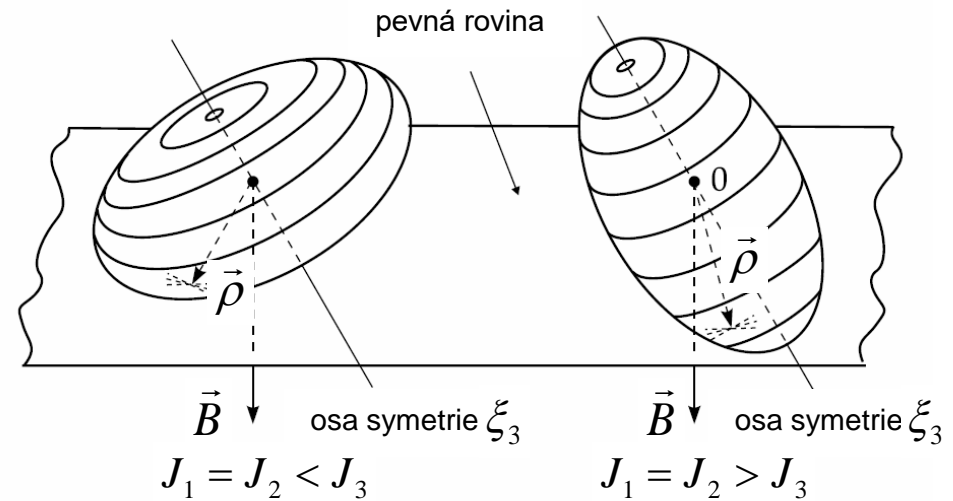
těžký setrvačnick

upevnění mimo hmotný střed
v tíhovém poli

Shrnutí volného symetrického setrvačníku

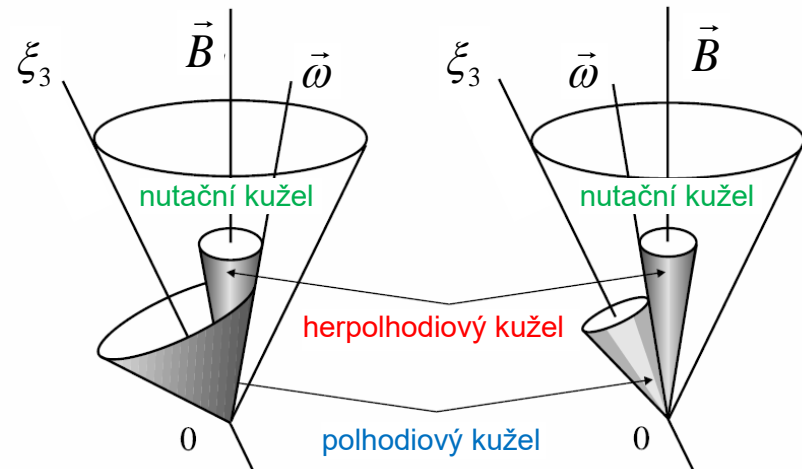
zploštělý elipsoid setrvačnosti

- $J_1 = J_2 < J_3$
- herpolhodiový kužel leží uvnitř polhodiového kužele
- pořadí vektorů $\xi_3 - B - \omega$



protáhlý elipsoid setrvačnosti

- $J_1 = J_2 > J_3$
- herpolhodiový kužel leží vně polhodiového kužele
- pořadí vektorů $\xi_3 - \omega - B$

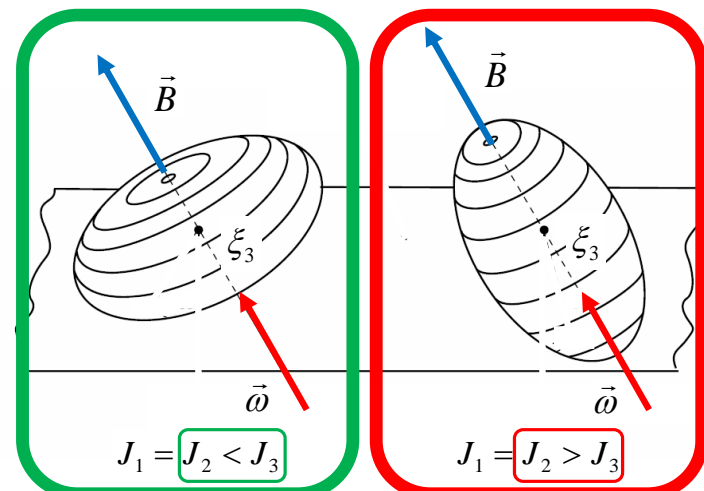
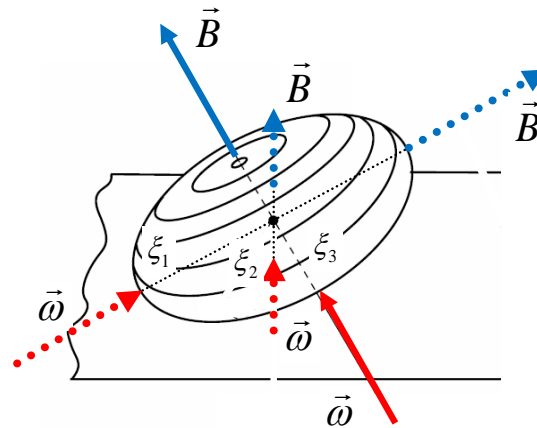


Volný symetrický setrvačník

Stabilita rotace kolem volné osy

Shrnutí výsledků

- symetrický setrvačník při rotaci kolem hlavních os zachovává směr osy rotace (nekoná nutační pohyb) \Rightarrow hlavní osy jsou volnými osami rotace
- z energetického hlediska je stabilní volná rotace kolem té hlavní osy, jíž přísluší větší hodnota momentu setrvačnosti



Samovolné ustavení stabilní osy rotace

experiment → rotující těleso libovolného tvaru vlivem náhodného vnějšího působení přejde v rotaci kolem hlavní osy setrvačnosti, vůči které má největší moment setrvačnosti

důsledek teorémů o stabilitě (Thomson-Tait-Četajev) ⇒ systém s nestabilní potenciální energií, který je stabilizován pomocí gyroskopických sil, přestává být stabilním po přidání libovolně malé disipativní síly

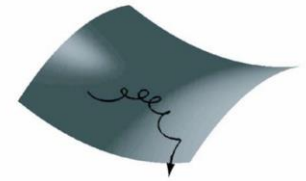
- a) stabilní (sudý počet nestabilních parametrů)
- b) nestabilní (lichý počet nestabilních parametrů)
- c) systém stabilizovaný gyroskopicky se doplněním disipativní síly destabilizuje
- d) dokonce systém v minimu potenciální energie se může doplněním disipativní síly destabilizovat

R.Kretchenikov, J.E.Marsden: *Dissipation-induced instabilities in finite dimensions*, Rev. Mod. Phys. **79** (2007) 519.

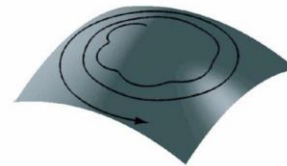
Explorer 1 – záměrem bylo stabilizovat sondu rotací okolo podélné osy...



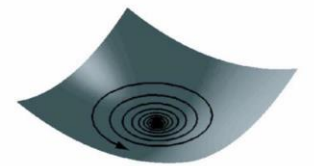
(a) Gyroscopic stabilization: even degree of instability



(b) Gyroscopic failure: odd degree of instability



(c) Dissipative destabilization of gyroscopically stable system



(d) Nonconservative positional destabilization of potentially stable system

Zajímavé aplikace

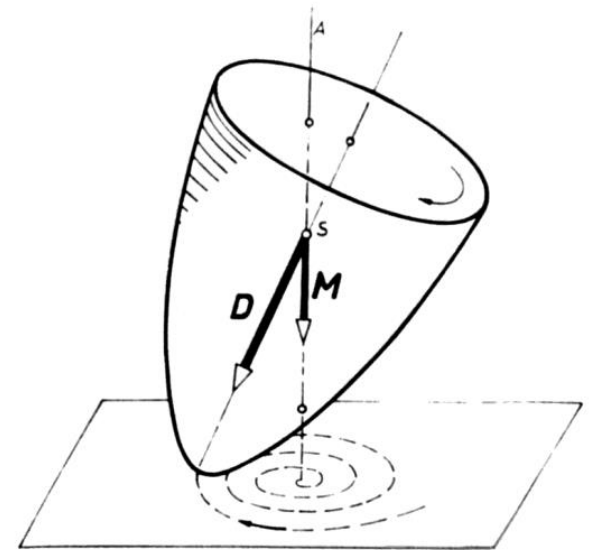
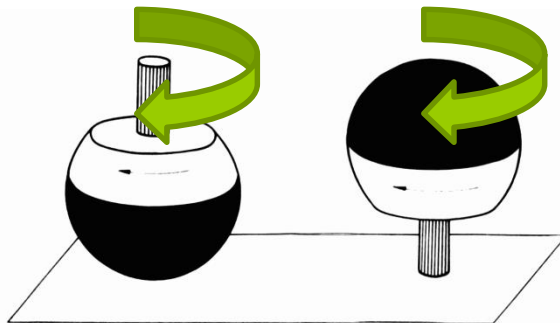
- teorémy Thomson-Tait-Četajev
- významný podíl třecích sil

káča, vlček, čamrda

- stabilizace díky tření hrotu
- po spirále se blíží do stabilního stavu
- zároveň třecí síla stabilitu narušuje
- nakonec vlček zpomalí natolik, že ztratí stabilitu

tippe top

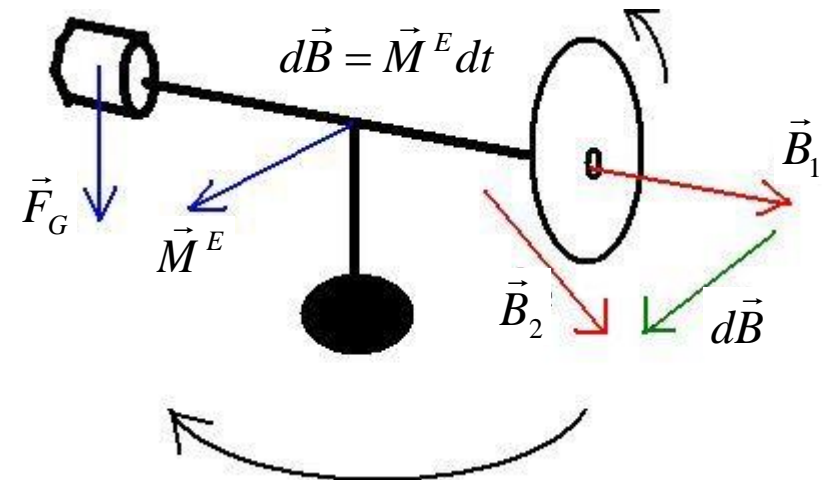
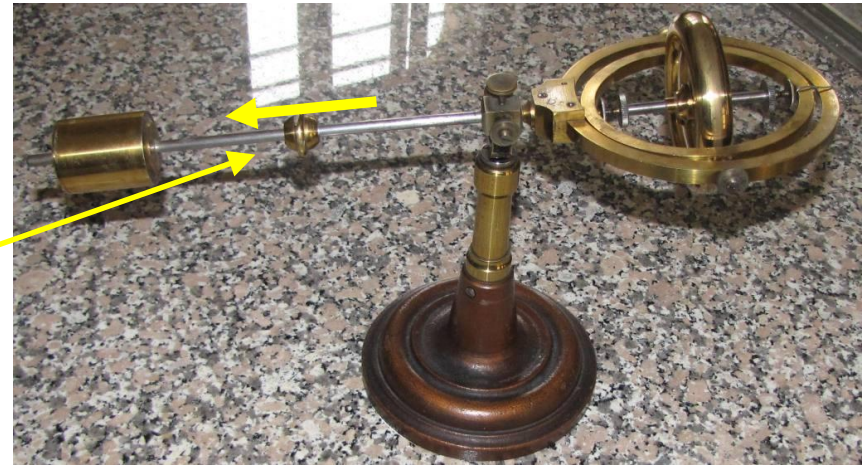
- hmotný střed neleží v centru kulové části
- dotykový bod s podložkou leží mimo osu rotace
- tření vytvoří moment sil vedoucí nakonec k obrácení



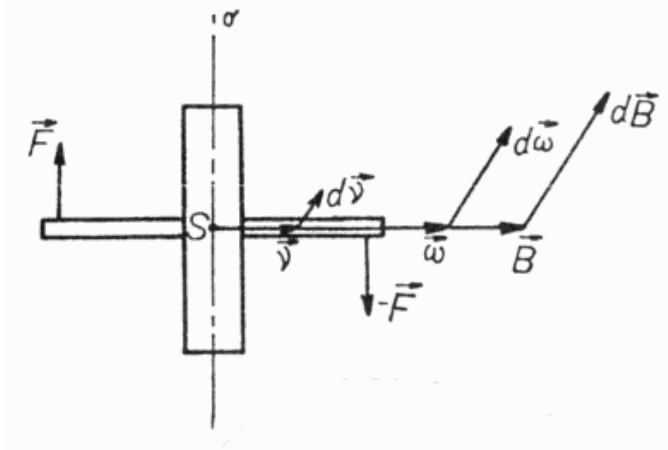
https://commons.wikimedia.org/wiki/File:Snurra_oppochner.gif

Stáčení osy setrvačníku momentem sil. Precese setrvačníku.

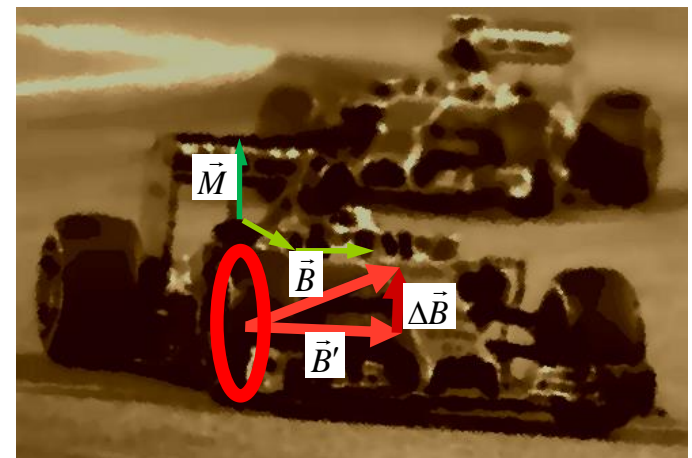
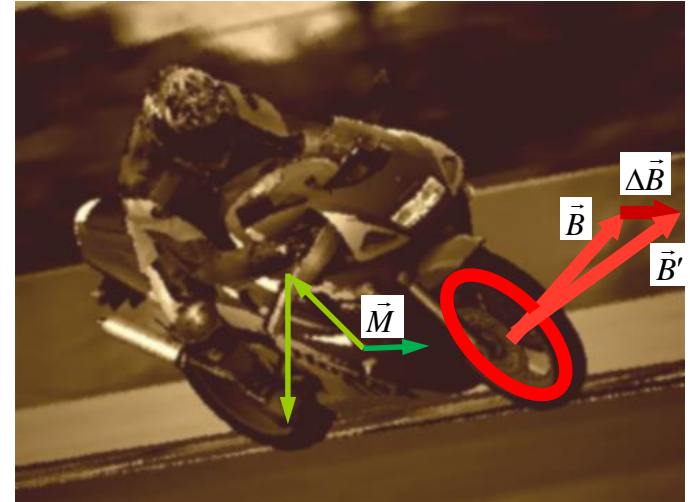
- vyvážení hmotnosti setrvačníku
- roztočení setrvačníku
- vektor momentu hybnosti \vec{B}_1 setrvačníku je orientován souhlasně s osou rotace
- posun závaží doleva \Rightarrow na rameno působí síla \vec{F}_G , což vyvolá moment síly \vec{M}^E
- impuls momentu síly je podle 2. IV roven změně momentu hybnosti
- ta se projeví stáčením osy rotace setrvačníku kolem svislé osy
- stáčení osy setrvačníku vlivem vnějšího momentu sil se nazývá precese



Gyroskopický efekt – stabilita v zatáčce

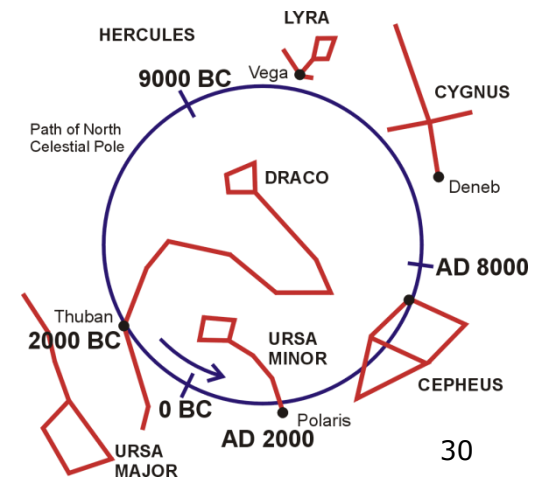
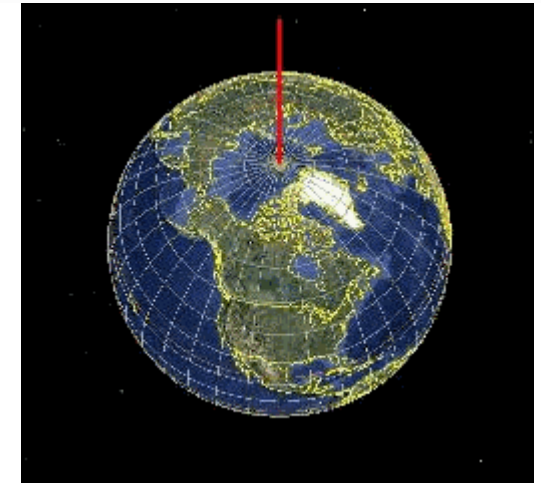
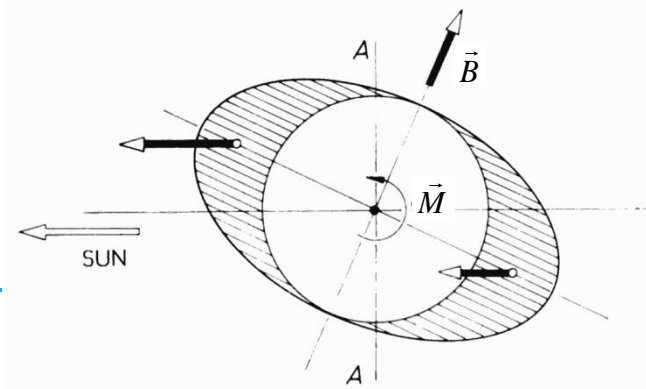


- rotující součásti vozidel ovlivňují stabilitu při zatáčení
- gyroskopický efekt udržuje stabilitu při naklánění do zatáčky
- vozidla, která se nenaklánějí, jsou naopak vyklápěna ven ze zatáčky
- gyrobus – protiběžné setrvačníky



Precese a nutace Země

- Země má volnou osu
 - nejde ale o volný setrvačnick – nerotuje bezsilově
 - slapové síly působí na zploštění planety
 - složení gravitačních vlivů Slunce, Měsíce a planet
 - moment sil \vec{M} kolmý k nákresně
 - změna momentu hybnosti \vec{B} kolmá k nákresně
- ⇒ precese vektoru \vec{B} kolem osy A-A
- osa A-A kolmá k ekliptice, míří do souhvězdí Draka
 - doba oběhu cca 25800 let
- nutace
 - perioda 433 dnů (Chandlerova perioda)
 - amplituda $\pm 0.2''$
 - posun pólu po kružnici průměru 10 m



By Ereenegee (Own work) [CC-BY-SA-3.0 (<http://creativecommons.org/licenses/by-sa/3.0/>)], via Wikimedia Commons
<http://commons.wikimedia.org/wiki/File:Precesi%C3%B3n.gif>

By Miraceti, original authors: GregBenson and Wereon. [GFDL (<http://www.gnu.org/copyleft/fdl.html>) or CC-BY-SA-3.0 (<http://creativecommons.org/licenses/by-sa/3.0/>)], via Wikimedia Commons
http://commons.wikimedia.org/wiki/File%3APrecession_starchart.png

Gyroskopický efekt – navigační přístroje...

- prostý Kardanův závěs nemusí stačit pro otáčení ve velkém rozsahu (zejména v letadlech)
- uplatňuje se setrvačnost otočných částí závěsu (vs. robustnost konstrukce)

směrový ukazatel (heading indicator)

- volný setrvačník – drží pevný směr ($\Delta > 0.002^\circ/\text{min}$)
- ovlivňován rotací Země \Rightarrow každých 15 minut nutno korigovat směr podle kompasu

umělý horizont

- těžký setrvačník ve stabilní rovnováze
- osa udržuje „střední hodnotu“ svislého směru

gyrokompas

- osa udržována ve vodorovném směru
- interakce \vec{B} s rotací Země $\vec{\omega}_e$ udržuje směr k severu (nefunguje na pólech)

gyrostat

- tlumí pohyby paluby lodi při vlnobití

